

高等學校教學用書

# 航空渦輪發動機構造與 零件強度計算

下冊

北京航空學院發動機構造教研室編



國防工業出版社

## 內容簡介

本书系北京航空学院发动机构造教研室教师在遵循党的教育方针，贯彻理论联系实际，运用辩证唯物主义观点的思想指导下集体编写而成。

全书包括有：航空燃气涡轮发动机构造，主要零件振动计算，主要零件强度计算等篇，分上、下册出版。

本下册介绍了发动机的叶片、轮盘、机匣等主要零件的强度计算与振动计算，以及转子的平衡与临界转速计算。在对各零(组)件计算的基本理论进行说明与分析的同时还介绍了几种设计时常用的计算方法与各种类型的实验技术。

本书供航空学院发动机设计专业教学之用，亦可作有关方面技术人员参考。

北京航空学院发动机构造教研室编

\*  
国防工业出版社 出版  
北京市书刊出版业营业登记字第 074 号

国防工业出版社印刷厂印刷

新华书店科技发行所发行 各地新华书店经售

\* 787×1092 1/16 印张 16 5/8 385 千字

1961 年 10 月第一版

1961 年 10 月第一次印刷

印数：0,001—4,000 册 定价：(11) 1.90 元

统一书号：15094·591

# 目 录

## 第十三章 輪盤強度計算

第一节 概述	2
1. 輪盤的工作條件	2
2. 輪盤的形狀	3
3. 強度計算的基本公式	4
第二节 几種剖面形狀簡單的輪盤強度計算	6
1. 等厚輪盤	6
2. 錐形輪盤	9
3. 等強輪盤	10
第三节 剖面形狀不規則的輪盤強度計算	12
1. 分段等厚圓環近似計算法	13
2. 積分法	17
第四节 考慮塑性變形的輪盤強度計算	25
1. 塑性區內應力與應變關係的特點	25
2. 屈服條件	26
3. 塑性區應力應變關係的推導	27
4. 韌性——塑性輪盤的計算步驟	31
第五节 离心式压氣机机輪的强度計算	34
第六节 帶齒環的輪盤強度計算	35
1. 計算方法	35
2. 計算公式	38
3. 計算結果與結論	42
第七节 實驗研究	46

## 第十四章 叶片强度計算

第一节 概述	49
1. 叶片的工作条件	49
2. 强度计算状态的选择	49
3. 坐标	51
第二节 离心拉伸应力計算	51
1. 一般公式与近似计算法	51
2. 几种形状简单的叶片拉伸应力計算	53
第三节 弯曲应力的計算	58
1. 气动力产生的弯曲力矩	58
2. 离心力产生的弯曲力矩	59
3. 截面面积、重心坐标、惯性矩、抗弯截面系数及弯曲应力的求定	67
4. 障子叶片的計算	71

第四节 叶片的扭轉应力計算 ······	74
第五节 考慮蠕變的渦輪叶片強度計算 ······	75
第六节 工作叶片的安全系数及伸長 ······	79
第七节 叶片樺頭強度計算 ······	80
1. 燕尾形樺頭的計算 ······	80
2. 櫛樹形樺頭計算 ······	83
3. 銷釘聯接樺頭的計算 ······	87
第八节 利用光測彈性力學方法對叶片樺頭应力的實驗研究 ······	89

## 第十五章 薄壳体零件的强度及稳定性計算

第一节 概述 ······	94
1. 作用在薄壳体上的負荷 ······	94
2. 零件形状及負荷的簡化方法 ······	95
第二节 圓柱形薄壳的“總应力”計算 ······	96
1. 均勻軸向力所引起的应力 ······	97
2. 端面受弯曲力矩作用所引起的应力 ······	97
3. 扭力矩所引起的应力 ······	98
4. 正压力和溫度所引起的应力 ······	98
5. 邊緣均布的横向力所引起的应力 ······	99
6. 薄壳表面均布的横向力所引起的应力 ······	100
7. 帶加強肋的圓柱形薄壳体的計算 ······	101
第三节 厚度不均匀薄壳的局部应力的計算 ······	103
1. 在軸向力及均匀分布的正压力作用下的局部应力 ······	104
2. 在正压力作用下，一端固定的短薄壳和半无限长薄壳系統中所产生的局部应力 ······	107
3. 在均匀正压力作用下，环形加强边附近的局部应力 ······	109
4. 热应力 ······	110
5. 最大应力的一般計算方法 ······	116
第四节 圓錐形薄壳应力的基本計算公式 ······	119
第五节 圓柱形及圓錐形薄壳的稳定性計算 ······	123
1. 獨立負荷作用时，圓柱形薄壳的稳定性計算 ······	123
2. 數種負荷同时作用时，圓柱形薄壳稳定性計算 ······	126
3. 圓錐形薄壳稳定性的計算 ······	128
4. 有加強肋的圓柱形和圓錐形薄壳稳定性的計算 ······	129

## 第十六章 叶片振动

第一节 概述 ······	131
1. 基本現象 ······	131
2. 叶片振动形式 ······	132
3. 引起叶片振动的原因 ······	134
第二节 叶片自然振动频率的計算法 ······	135
1. 运动平衡方程式法 ······	135
2. 能量法 ······	139

3. 逐次逼近法.....	146
4. 用差列一瑞茲法計算叶片的自由扭轉振動頻率.....	152
<b>第三節 影響叶片自然振動頻率的主要因素.....</b>	<b>154</b>
1. 叶片根部固持剛性對振動頻率的影響.....	154
2. 溫度對振動頻率的影響.....	155
3. 輪盤旋轉對叶片頻率的影響.....	156
4. 叶片扭向對振動頻率的影響.....	159
<b>第四節 叶片的共振特性及避免危險共振的方法.....</b>	<b>161</b>
1. 叶片的共振特性.....	161
2. 避免叶片產生危險共振的方法.....	162
3. 叶片的減振裝置.....	162
<b>第五節 离心式壓氣機葉輪上叶片的振動.....</b>	<b>165</b>
1. 叶片的振动形式.....	165
2. 叶輪上叶片的自然振動頻率計算法.....	165
<b>第六節 叶片振动实验.....</b>	<b>167</b>

## 第十七章 輪盤振動

<b>第一節 概述.....</b>	<b>169</b>
1. 輪盤振動的形式.....	169
2. 引起輪盤振動的原因.....	170
<b>第二節 輪盤自然振動頻率計算法.....</b>	<b>170</b>
1. 等厚薄圓盤彎曲振動自然振動頻率的近似計算法.....	170
2. 輪盤傘形振動的自然振動頻率的計算法.....	172
3. 輪盤扇形振動的自然振動頻率計算.....	181
4. 溫度對輪盤自然振動頻率的影響.....	183
<b>第三節 輪盤的動波與共振特性.....</b>	<b>184</b>
1. 輪盤振動的動波.....	184
2. 輪盤產生駐波的臨界轉速.....	185
3. 輪盤振動的共振特性.....	186
<b>第四節 輪盤振動實驗.....</b>	<b>187</b>
1. 輪盤振動的相似關係.....	187
2. 旋轉圓盤動波實驗裝置.....	187

## 第十八章 發動機的振動與轉子的平衡

<b>第一節 總述.....</b>	<b>190</b>
<b>第二節 保證轉子良好平衡性的方法.....</b>	<b>192</b>
<b>第三節 轉子不平衡度的選擇與發動機振動性能的判定.....</b>	<b>194</b>

## 第十九章 轉子的臨界轉速

<b>第一節 概述.....</b>	<b>197</b>
<b>第二節 單盤轉子臨界轉速的簡單計算法.....</b>	<b>197</b>
1. 單盤、無重軸轉子的臨界轉速.....	197
2. 單盤、有重軸轉子的臨界轉速.....	199

第三节 单盘轉子做进动运动时的临界轉速	203
1. 进动运动的现象和定义	203
2. 轉子发生进动运动的原因	204
3. 进动运动中作用于軸上的慣性力与力矩	205
4. 进动运动的特点	206
5. 进动运动时的临界轉速	207
第四节 軸的进动和横向振动的关系	210
1. 无撓动能量时的情况	210
2. 有撓动能量时的情况	210
第五节 多盘轉子的临界轉速計算	211
1. 简化成单盘轉子計算	211
2. 近似重迭計算法	211
3. 乘列計算法	212
4. 积分法	213
第六节 轉子上的負荷及轉子的結構等对轉子临界轉速的影响	224
1. 轉子上的負荷对临界轉速的影响	224
2. 阻尼对临界轉速的影响	225
3. 轉子結構对临界轉速的影响	227
第七节 “剛軸”与“柔軸”	230
第八节 設計中处理轉子临界轉速的方法	231
1. 計算中对轉子的简化处理	232
2. 設計中对临界轉速的調整	233
第九节 轉子临界轉速的实验	233
1. 实驗的目的	233
2. 实驗设备	234
3. 测量方法	235
附录一 各种单盘双支点轉子弯曲刚性及临界轉速公式	236
附录二 軸的效应系数計算法	237
附录三 輪盤慣性矩的計算法	238
附录四 图解求轉子靜撓度的方法	239
附表 1 計算錐形輪盤的系数表	240
附表 2 計算等厚輪盤用的、根据 $\frac{r}{R_2}$ 的 $\beta_1 - \beta_3$ 系数值	243
附图 1~4	

## 第十三章 輪盤強度計算

在进行航空发动机构造設計时，要求达到尺寸小、重量輕、安全可靠，因此必須对其主要零件进行詳細的强度計算。同时应当运用强度理論来研究和分析发动机的构造，使所設計的构造方案以及零件形状更加合理，以达到尽量減輕发动机重量的目的。一般当发动机的重量減少1公斤，就可使飞机的需用推力减少0.1~0.07公斤，飞机的重量可减少10~15公斤，而工作叶片的重量減少1克又可使发动机重量減少4~5克。所以对发动机中主要零件进行詳細的强度計算，使其既能安全可靠地工作而重量又最輕是极为重要的。但由于发动机零件的形状及其所受的負荷情況很复杂，强度計算不可能十分准确；因此还必須对其負荷情況、应力分布状态进行广泛的實驗研究，以弥补强度計算之不足，并且在发动机試制出来后，还要进行长期試車，以檢驗其質量。

設計发动机零件时，应按下列各項原則來确定零件的尺寸和形状：

1) 等强度要求：为了使零件既能安全可靠地工作，重量又是最輕，必須充分合理地利用所有的材料，尽可能使各个部分的安全系数均相同，这就是等强度条件。例如，图13-1中1处作成錐形，使其各截面应力接近相等；在图13-2所示的輪盤上开有偏心孔2，由于孔邊产生应力集中，因此必須在孔邊緣將輪盤材料加厚，以减小局部应力。零件上多余的材料要挖去，如图13-2中1处的凹槽即为挖去了各联接銷釘位置之間多余的鼓筒材料而形成的。

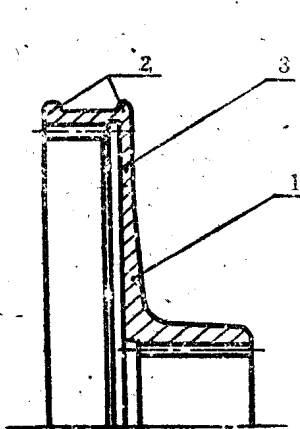


圖 13-1 主動齒輪：  
1—錐形盤；2—加強凸緣；3—等厚盤。

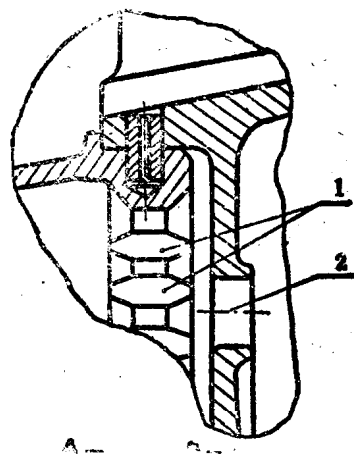


圖 13-2 輪盤與鼓環的聯接：  
1—凹槽；2—偏心孔。

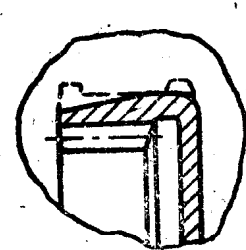


圖 13-3 主動齒輪齒圈。

2) 刚性要求：为了保証发动机工作良好，某些零件的形状及其尺寸大小，不仅仅由强度的要求来决定而更主要的是根据使其具有足够的刚性来决定，以滿足工作性能的要求。如图13-1中的齒圈，按其所承受的应力情況可以作成如图13-3所示的形式；但这种形状的刚性太差，发生变形后将使零件不能很好地工作。因此为了提高刚性，在齒圈外緣上作有加强凸緣。

3) 工艺性要求：零件的构造及形状，应当便于加工。例如，图13-1中3处作为等厚的。

如按等强度要求, 則該處應作成變截面的; 但這樣會造成邊緣部分太薄, 使加工很困難。因此這部分作成等厚是合理的。同樣理由, 圖 13-2 中的偏心孔 2 需在整個環帶上加厚, 而不能仅仅在孔邊單獨加厚。

在設計零件時, 對上述各項要求, 必須綜合地統一研究, 力求全面地滿足設計要求。

按強度計算工作的性質來看, 一般有兩種內容: 一種為對已給定了形狀與尺寸的零件進行強度驗算; 另一種為根據給定的應力及其分布情況求出零件的尺寸與形狀。

根據零件的形狀及其工作條件的不同, 航空燃氣渦輪發動機零件的強度計算可以分成下列幾種類型:

- 1) 叶片强度計算;
- 2) 輪盤强度計算;
- 3) 薄殼强度及其穩定性計算;
- 4) 軸的强度計算;
- 5) 齒輪强度計算;
- 6) 聯接件的强度計算。

上述的第 4、5、6 類, 由於計算方法比較簡單, 同時與其構造形式的關係較密切, 所以均已在本節上冊的相應各章中敘述過。第 1、2、3 類是發動機中的重要零件, 設計時要求進行細致的強度計算, 同時計算方法及理論均較複雜, 所以分別在下冊中分章研究。本章專門對輪盤強度計算進行敘述。

## 第一节 概述

### 1 輪盤的工作條件

壓氣機和燃氣渦輪的輪盤, 在工作時受到下列各種負荷的作用:

- 1) 輪盤和固定在輪盤上的葉片的質量所產生的離心力;
- 2) 工作葉片的軸向力和輪盤兩邊靜壓力差所產生的力;
- 3) 工作葉片上的周向力;
- 4) 飛機作曲線飛行時產生的陀螺力矩;
- 5) 由於輪盤沿半徑及厚度方向受熱不均勻而產生的熱負荷;
- 6) 葉片和輪盤振動時產生的動負荷;
- 7) 輪盤帶緊度配合時, 在輪盤與軸的結合處產生的力。

在這些負荷的作用下, 輪盤中產生了很大的應力。其中第一種負荷很大, 必須計算; 第二種負荷較小, 特別當在輪盤上開有小孔時, 兩邊的壓力就平衡了; 第三、四種負荷很小, 因此計算時可忽略; 第五種負荷, 由於當輪盤的徑向溫差很大時會產生很大的熱應力, 所以應當計算; 如鋼和鈦, 尤其是耐熱合金製成的輪盤, 在計算應力時要考慮輪盤沿半徑受熱不均勻的問題。但如果是鋁合金製成的輪盤, 則由於材料的傳熱系數較高, 溫度分布就較均勻, 热應力通常可略去不計。至於沿厚度方面的熱應力, 由於輪盤很薄, 有時輪盤兩邊又均進行冷卻, 故可以認為溫度是均勻的, 不予計算; 第六種負荷, 由於設計時就採取了措施提高了輪盤的剛性, 減小了振動, 因此一般也不進行計算; 第七種負荷應當計算。

压气机輪盤和渦輪輪盤的計算方法是一样的。許用应力則应根据輪盤所用的材料和溫度來選擇。

当輪盤的溫度很高时，必須考慮到材料的蠕變現象，以及产生塑性变形的可能性。

## 2 輪盤的形状

輪盤的剖面形状，可以分成下列几种：（見圖 13-4）

- 1) 等厚輪盤，輪盤厚度  $h = \text{常数}$ ；
- 2) 錐形剖面輪盤，輪盤厚度按下式变化：

$$h = h_0 \left(1 - \frac{R}{R_b}\right)$$

式中  $R$  —— 輪盤上任意一点的半徑；

$R_b$  —— 錐形頂点的半徑；

$h_0$  ——  $R=0$  处的輪盤厚度。

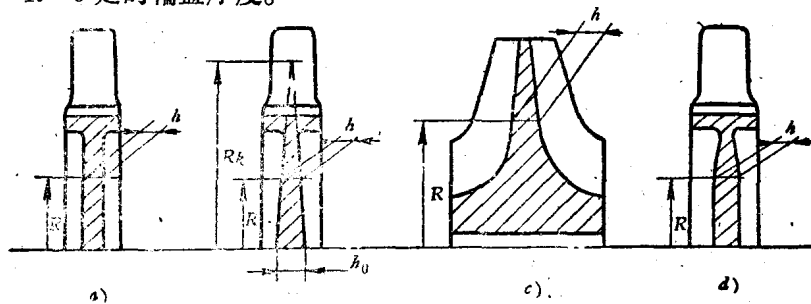


图 13-4 各种輪盤形状：

a—等厚輪盤；b—錐形輪盤；c—双曲綫輪盤；d—等强度輪盤。

- 3) 双曲綫形剖面輪盤，輪盤厚度按下式变化：

$$h = \frac{a}{R^m}$$

式中  $a = \text{常数}$ ；

$m$  —— 双曲綫指数。

双面进气离心式压气机的輪盤形状接近于双曲綫形剖面形式，等厚輪盤就是双曲綫輪盤在  $m=0$  时的特殊情况。

- 4) 等强度輪盤，在这种輪盤中，由离心力所产生的应力在各截面上均相同。

在設計輪盤时，剖面形状应按下面两个原則确定：

- 1) 重量最輕，充分利用材料，尽量使各截面强度相等。
- 2) 加工方便。

等厚輪盤，由于其应力分布不合理，应力又最大，一般已不采用。但是由于它的工艺性很好，所以在某些小型发动机中，由于負荷不很大也有采用等厚輪盤的。

錐形輪盤各处的应力分布比等厚輪盤合理些，但仍然不很均匀。因为加工亦比較方便，所以在現有的发动机中輪盤的基本形状大部分均采用錐形輪盤形式。

等强度輪盤的应力分布很均匀，但是加工很不方便；同时实际上由于輪盤各处的温度不均匀，还是不能达到真正等强度的要求，所以也很少采用。

在設計輪盤時，為了全面地滿足上述兩個原則，一般輪盤的剖面形狀，是由幾種有規則的幾何形狀組合而成的。

近來在設計壓氣機或渦輪轉子時，為了獲得足夠的剛性，均採用混合式的轉子構造。這時輪盤就不是單獨的了，而是與大直徑的鼓環做成（或聯接成）一體，作強度計算時，就必須考慮其相互影響。

### 3 強度計算的基本公式

在推導基本公式時，我們假設（1）應力沿盤的厚度均勻分布，也就是說輪盤處於平面應力的狀態；（2）溫度沿輪盤厚度不變，並且輪盤形狀是對稱的；（3）認為輪盤中的應力不引起塑性變形。以後我們將再研究考慮塑性變形的計算方法。

採用下列符號：

- $\omega$ ——輪盤旋轉角速度；
- $\gamma$ ——輪盤材料的比重；
- $E$ ——輪盤材料的彈性系數；
- $\mu$ ——輪盤材料的波松系數；
- $\alpha$ ——輪盤材料的線膨脹系數；
- $h$ ——輪盤的厚度；
- $R$ ——輪盤某截面的半徑；
- $\sigma_r$ ——輪盤的徑向應力；
- $\sigma_t$ ——輪盤的周向應力；
- $u$ ——輪盤在半徑  $R$  处的變形值。

由相距為  $dR$  的兩個截面及夾角為  $d\varphi$  的兩個徑向平面，從輪盤分出一個無窮小的微元體（圖 13-5）。根據對稱條件，徑向平面上的剪應力等於零，只有正應力  $\sigma_r$ ，而在弧形截面上則只作用有徑向正應力。

因此在微元體的弧形截面上，作用有力  $P_r$  及  $P_r + dP_r$ ，在徑向平面上，作用力為  $P_t$ 。除了這些力外，還有由微元體的質量所產生的離心力  $P_u$ 。

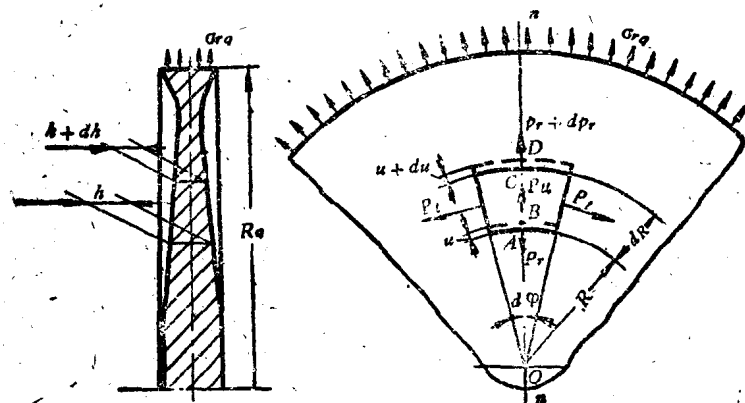


圖 13-5 輪盤強度計算簡圖。

根据力的平衡条件, 这些力在半径方向(在  $n-n$  轴上)上的投影之和应等于零。亦即

$$(P_t + dP_t) - P_t - 2P_t \sin \frac{d\varphi}{2} + P_u = 0 \quad (13-1)$$

由于  $d\varphi$  很小,  $\sin \frac{d\varphi}{2}$  可以用  $\frac{d\varphi}{2}$  代替, 简化后得:

$$dP_t - P_t d\varphi + P_u = 0$$

式中

$$P_t = \sigma_t h dR$$

$$dP_t = d[\sigma_t h dR] d\varphi$$

$$P_u = dm \cdot R \omega^2 = \frac{r}{g} R^2 \omega^2 h dR d\varphi$$

代入(13-1), 并化简后得:

$$d[Rh\sigma_t] - \sigma_t h dR + h R^2 \rho \omega^2 dR = 0 \quad (13-2)$$

式中

$$\rho = \frac{r}{g} \text{ 公斤} \cdot \text{秒}^2 / \text{厘米}^4.$$

(13-2) 式称为平衡方程式, 在此式中有下列几项误差因素:

- 1) 求微元体离心力  $P_u$  时, 由于将其体积当成立方体, 并用内表面半径  $R$  代替重心半径, 故与真实情况有误差;
- 2) 求  $P_t$  时, 认为微元体的厚度  $h$  为常数, 应力  $\sigma_t$  为均匀分布, 这也与真实情况有误差;
- 3) 求  $dP_t$  时, 其中略去了高次微量。

当所取的微元体极小时, 上述各项误差均属于高次微量, 因此只有利用积分方法由(13-2)求应力时, 才能得到精确的值; 如果利用有限差法求应力则只能得到近似值。

(13-2) 中有两个未知数  $\sigma_t$  及  $\sigma_r$ , 所以还要有一个方程式才能求解。

求应力的第二个方程式, 可由虎克定律求得。根据这个定律, 同时考虑到热膨胀应力与变形的关系, 可得下式:

$$\left. \begin{aligned} s_r &= \frac{1}{E} (\sigma_r - \mu \sigma_t) + \alpha t \\ s_t &= \frac{1}{E} (\sigma_t - \mu \sigma_r) + \alpha t \end{aligned} \right\} \quad (13-3)$$

式中  $s_r$  和  $s_t$  —— 在径向和周向的相对变形;

$t$  —— 截面上的温度。

用  $u$  代表在应力及热膨胀的作用下, 轮盘微元体在半径  $R$  处的径向伸长, 用  $u+du$  代表在半径  $R+dR$  处的伸长(如图 13-5), 则相对变形为:

$$\left. \begin{aligned} s_r &= \frac{BD - AC}{AC} = \frac{dR + u + du - dR - u}{dR} = \frac{du}{dR} \\ s_t &= \frac{(R+u)d\varphi - Rd\varphi}{Rd\varphi} = \frac{u}{R} \end{aligned} \right\} \quad (13-4)$$

将(13-4)中的  $s_r$  及  $s_t$  值代入(13-3)中, 则得:

$$\left. \begin{aligned} \frac{u}{R} &= \frac{1}{E} (\sigma_t - \mu \sigma_r) + at \\ \frac{du}{dR} &= \frac{1}{E} (\sigma_r - \mu \sigma_t) + at \end{aligned} \right\} \quad (13-5)$$

把(13-5)代入(13-2)后, 就得到变形为半径的函数的微分方程:

$$\begin{aligned} \frac{d^2 u}{dR^2} + \left[ \frac{d(\ln h)}{dR} + \frac{1}{R} \right] \frac{du}{dR} + \left[ \frac{\mu}{E} \frac{d(\ln h)}{dR} - \frac{1}{R^2} \right] u - \\ -(1+\mu)a \frac{dt}{dR} - (1+\mu)at \frac{d(\ln h)}{dR} + \rho \omega^2 \frac{1-\mu^2}{E} R = 0 \end{aligned} \quad (13-6)$$

由(13-6)求得变形值后, 就可以求出轮盘的应力。但是这只有当轮盘剖面形状很简单时(13-6)才便于积分, 以求得其变形值; 否则是很困难的。一般是先将(13-5)中的第一个方程式微分, 并把  $\frac{du}{dR}$  值代入第二个方程式中, 得:

$$\frac{d}{dR} \left[ \frac{R}{E} (\sigma_t - \mu \sigma_r) + R at \right] = \frac{1}{E} (\sigma_r - \mu \sigma_t) + at$$

对上述方程式的左边各项微分, 并将变数分开, 则得:

$$\frac{d}{dR} \left( \frac{R \sigma_t}{E} \right) + \frac{\mu}{R} \left( \frac{R \sigma_t}{E} \right) = \frac{\sigma_r}{E} + \frac{d}{dR} \left( \frac{\mu R \sigma_r}{E} \right) - R \frac{d}{dR} (at) \quad (13-7)$$

(13-7)称为变形一致方程式。由(13-2)和(13-7)两个方程式就能求出轮盘各截面上的应力, 由(13-5)求出变形。

## 第二节 几种剖面形状简单的轮盘强度计算

### 1 等厚轮盘

在这种情况下由于  $h = \text{常数}$ , 所以  $\frac{d(\ln h)}{dR} = 0$ , 方程式(13-6)则变成:

$$\frac{d^2 u}{dR^2} + \frac{1}{R} \frac{du}{dR} - \frac{1}{R^2} u - (1+\mu)a \frac{dt}{dR} + \rho \omega^2 \frac{1-\mu^2}{E} R = 0.$$

可以写成:

$$\frac{d}{dR} \left[ \frac{1}{R} \frac{d}{dR} (uR) \right] = (1+\mu)a \frac{dt}{dR} - \frac{1-\mu^2}{E} R \rho \omega^2$$

一次积分后, 得:

$$\frac{1}{R} \frac{d}{dR} (uR) = (1+\mu)at - \frac{1-\mu^2}{E} \frac{R^2}{2} \rho \omega^2 + 2a_1 \quad (13-8)$$

式中  $2a_1$ ——积分常数。

二次积分后, 得:

$$uR = (1+\mu)a \int_{R_0}^R t R dR - \frac{1-\mu^2}{E} \frac{R^4}{8} \rho \omega^2 + 2a_1 \frac{R^2}{2} + a_2 \quad (13-9)$$

式中  $a_2$ ——积分常数。

微分(13-9)得:

$$\frac{du}{dR} = (1+\mu)at - \frac{(1+\mu)a}{R^2} \int_{R_0}^R t R dR + a_1 - \frac{a_2}{R^2} - \frac{1-\mu^2}{E} \frac{3R^2}{8} \rho \omega^2 \quad (13-10)$$

把(13-9)及(13-10)代入(13-5), 并整理得:

$$\sigma_r = K_1 - \frac{K_2}{R^2} - \frac{3+\mu}{8} \rho \omega^2 R^2 + \frac{\alpha E}{R^2} \int_{R_0}^R t R dR \quad (13-11)$$

$$\sigma_t = K_1 + \frac{K_2}{R^2} - \frac{1+3\mu}{8} \rho \omega^2 R^2 + \frac{\alpha E}{R^2} \int_{R_0}^R t R dR - Eat \quad (13-12)$$

式中常数  $K_1 = \frac{\alpha_1 E}{1-\mu}$ ,  $K_2 = \frac{\alpha_2 E}{1+\mu}$ 。是由輪盤的边界条件来确定的。

### 1) 等温实心等厚輪盤的应力:

边界条件为  $R=R_q$  时  $\sigma_r=\sigma_{rq}$ .

$R=0$  时  $\sigma_r=\sigma_t=\sigma_0$

式中  $R_q$ —輪盤的外半徑。

代入(13-11)及(13-12)得:

$$\left. \begin{aligned} \sigma_r &= \frac{3+\mu}{8} (R_q^2 - R^2) \rho \omega^2 + \sigma_{rq} \\ \sigma_t &= \frac{\rho \omega^2}{8} [(3+\mu) R_q^2 - (1+3\mu) R^2] + \sigma_{rq} \end{aligned} \right\} \quad (13-13)$$

由上二公式可知: 在其它条件不变的情况下, 成比例地增加或减小輪盤的厚度, 对輪盤的应力沒有影响; 但改变輪盤所承受的外負荷  $\sigma_{rq}$ , 則輪盤应力将有与之成直線关系的变化; 輪盤的旋轉角速度增加  $n$  倍, 則由于离心力所引起的应力即增大  $n^2$  倍。

在輪盤中心处  $R=0$  应力为:

$$\sigma_{r0} = \sigma_{t0} = \frac{3+\mu}{8} \rho \omega^2 R_q^2 + \sigma_{rq} \quad (13-14)$$

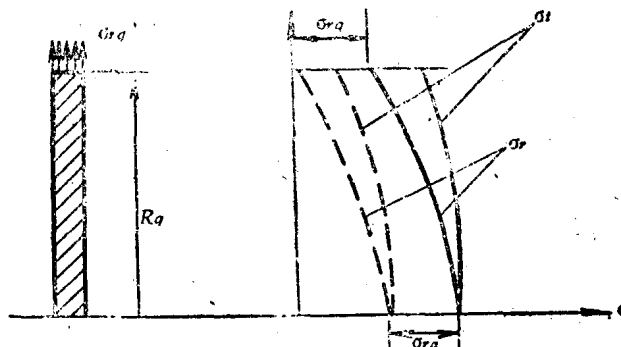


图 13-6 等温实心等厚輪盤应力分布:  
——为  $\sigma_{rq}=0$  的曲綫; ——为  $\sigma_{rq}\neq0$  的曲綫。

在图 13-6 上繪出了应力沿半徑变化的曲綫图, 由图知等厚輪盤的应力分布是不均匀的, 材料未能很好利用, 因而在燃气渦輪发动机中一般很少采用等厚盘; 当輪盤半徑  $R$  增大时  $\sigma_r$  和  $\sigma_t$  的減小程度是不同的。

### 2) 等温空心等厚輪盤的应力。

先研究沒有外加負荷的旋轉圓盤, 此时边界条件为

$$R=R_q \text{ 处 } \sigma_{rq}=0.$$

$$R=R_0 \text{ 处 } \sigma_{ro}=0.$$

式中  $R_q$  —— 輪盤的外半徑；

$R_0$  —— 輪盤中心孔半徑。

将其代入(13-11)及(13-12)，得：

$$\left. \begin{aligned} \sigma_r &= \frac{3+\mu}{8} \rho \omega^2 \left( R_q^2 + R_0^2 - \frac{R_q^2 R_0^2}{R^2} - R^2 \right) \\ \sigma_t &= \frac{3+\mu}{8} \rho \omega^2 \left( R_q^2 + R_0^2 + \frac{R_q^2 \cdot R_0^2}{R^2} - \frac{1+3\mu}{3+\mu} R^2 \right) \end{aligned} \right\} \quad (13-15)$$

由上二式可知，中心孔边的周向应力随着孔的半徑  $R_0$  的增大而增大。

$$\text{极限情况当 } R_0 \approx R_q \text{ 时} \quad \sigma_t = \rho \omega^2 R_q^2 = \rho u_q^2 \quad (13-16)$$

当孔为无限小时，便可認為  $R_0 \approx 0$

則

$$\sigma_t = \frac{3+\mu}{4} \rho \omega^2 R_q^2 = \frac{3+\mu}{4} \rho u_q^2 \quad (13-17)$$

图 13-7 上繪出了在沒有外加負荷下，空心等厚輪盤的应力分布曲線。

由(13-14)及(13-17)可知，甚至在盤的中心孔为无限小时，在孔盤中心处的周向应力还是为实心盤的两倍。由(13-16)及(13-17)可知，周向应力随  $R_0$  的增加而增加，最大的增加量約為 17%。所以在燃气涡輪发动机中，最好将輪盤設計成实心的。

由图 13-7 中的应力分布曲線可知空心輪盤的应力变化仅在孔邊附近才很大，其余部分的影响很小；因此当設計时，如需要将輪盤作成空心的話，就应局部加厚孔邊以减小应力。

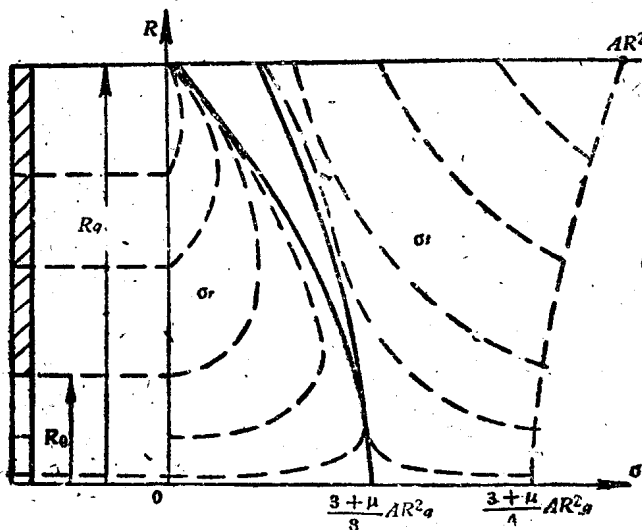


圖 13-7 不受外力的等厚盤应力分布与孔徑的关系：

——实心盤的应力曲綫；——空心盤的应力曲綫。

其次，研究当承受外負荷时，即  $\sigma_{rq} \neq 0$  則：

$$\left. \begin{aligned} \sigma_r &= \frac{3+\mu}{8} \rho \omega^2 \left( R_q^2 + R_0^2 - \frac{R_q^2 R_0^2}{R^2} - R^2 \right) + \frac{\sigma_{rq} R_q^2 (R - R_0)}{R^2 (R_q^2 - R_0^2)} \\ \sigma_t &= \frac{3+\mu}{8} \rho \omega^2 \left( R_q^2 + R_0^2 + \frac{R_q^2 R_0^2}{R^2} - \frac{1+3\mu}{3+\mu} R^2 \right) + \frac{\sigma_{rq} R_q^2 (R^2 + R_0^2)}{R^2 (R_q^2 - R_0^2)} \end{aligned} \right\} \quad (13-18)$$

其应力分布如图 13-8 所示，由图可见，当  $R_0$  增大时， $\sigma_t$  跟随增大，并且与图 13-7 相比较，它比  $\sigma_{rq}=0$  时增大要快，当  $R_0$  接近  $R_q$  时， $\sigma_t$  则接近无限大。

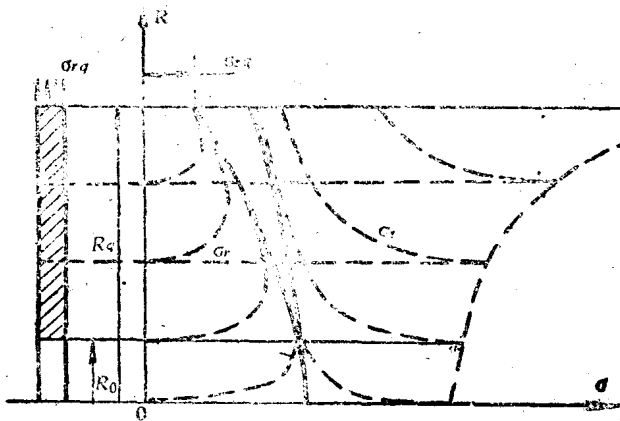


图 13-8 受外力的等厚盘应力分布与孔径的关系：  
——实心盘的应力曲线；——空心盘的应力曲线。

## 2 锥形轮盘

锥形轮盘的形状如图 13-9 所示。

$$h = h_0 \left( 1 - \frac{R}{R_k} \right)$$

式中  $R_k$  ——为锥形顶点至旋转轴线的高度；

$h_0$  ——在旋转轴线上锥底的宽度。

将上关系式及  $t=常数$  代入变形方程式 (13-6)，二次积分求出变形，再代入 (13-5) 求出应力，经整理后得计算公式如下：

$$\sigma_r = TP_0 + AP_1 + BP_2 \quad (13-19)$$

$$\sigma_t = Tq_0 + Aq_1 + Bq_2 \quad (13-20)$$

式中  $A, B$  为积分常数；

$P_0, P_1, P_2, q_0, q_1, q_2$  为几何常数与  $\frac{R}{R_k}$  有关，可以由书末附表 1 中查得：

$R_k$  由下列公式计算：

$$\frac{R_k - R_1}{R_k - R_2} = \frac{h_1}{h_2}$$

$$R_k = \frac{R_2 h_1 - R_1 h_2}{h_1 - h_2}; \quad (13-21)$$

$T$  ——为在半径  $R_k$  处的旋转自由薄环中的应力，可用下式计算：

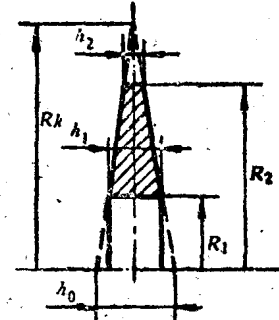


图 13-9 锥形轮盘。

$$T = \frac{\gamma \omega^2}{g} R_k^2 = \rho u_{Rk}^2 \quad (13-22)$$

积分常数  $A, B$  可以由轮缘与轮毂的已知边界条件求定。

有中心孔的锥形轮盘应力分布曲线，如图 13-10 中 a 所示。

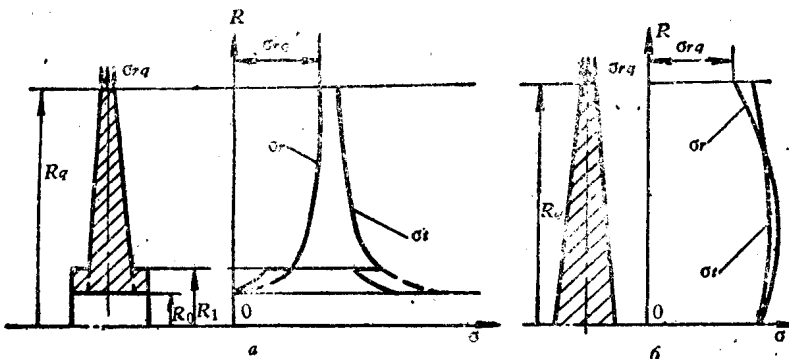


图 13-10 锥形轮盘的应力分布：  
a—空心锥形盘的应力分布；b—实心锥形的应力分布。

由图 13-10 中 b 图应力分布曲线可知锥形实心轮盘的应力分布比等厚型合理得多。这种轮盘具有较好的强度，重量也较轻；同时形状简单，加工方便，所以应用很广。

### 3 等强轮盘

若使轮盘上所有点上的计算应力都相同，则轮盘的材料就可充分地被利用，轮盘的重量也可最轻。其条件是：

$$\sigma_r = a_1 = \text{常数},$$

及

$$\sigma_t = a_2 = \text{常数}.$$

由(13-7)得。

$$\frac{\sigma_t}{E} + \frac{\mu \sigma_r}{E} = \frac{\sigma_r}{E} + \frac{\mu \sigma_r}{E} - R \frac{d}{dR}(\alpha t)$$

整理后：

$$R \alpha \frac{dt}{dR} = \frac{1}{E} (1 + \mu) (\sigma_r - \sigma_t)$$

$$R \frac{dt}{dR} = \frac{1 + \mu}{E \alpha} (\sigma_r - \sigma_t) = \beta = \text{常数}$$

$$dt = \beta \frac{dR}{R}$$

$$t = \beta \ln R + C$$

这就是说，如果轮盘的温度是按对数规律分布时，上述应力为常数的条件才能实现。

如果要求： $\sigma_r = \sigma_t = \sigma = \text{常数}$ ，则常数  $\beta = 0$ ，因而温度  $t = C$ 。这就是说，只有当轮盘的温度均匀分布时才能满足这种等应力的要求，同时需注意轮盘中心不能有孔，否则  $\sigma_r \neq \sigma_t$ 。

为了确定这种轮盘的剖面形状，根据  $\sigma_r = \sigma_t = \sigma = \text{常数}$  的条件，改变平衡方程式(13-2)，得：

$$\frac{dh}{h} = -\frac{\rho \omega^2}{\sigma} R dR$$

积分后得到：

$$\ln h = -\frac{\rho \omega^2}{\sigma} \cdot \frac{R^2}{2} + C$$

式中  $C$ ——为积分常数，

因此

$$h = e^{-\frac{\rho \omega^2 R^2}{2\sigma}} \cdot e^C \quad (13-23)$$

利用边界条件来确定常数  $C$ ：

令在中心的厚度为  $h_0$ ，即是当

$$R=0 \text{ 时}, \quad h=h_0$$

由(13-23)得

$$h_0 = e^C$$

因而(13-23)为：

$$h = h_0 e^{-\frac{\rho \omega^2 R^2}{2\sigma}} \quad (13-24)$$

令轮缘下面最小厚度为  $h_2$ ，及其所在半径为  $R_2$ ，由(13-24)得：

$$h_2 = h_0 e^{-\frac{\rho \omega^2 R_2^2}{2\sigma}}$$

$$h_0 = h_2 e^{\frac{\rho \omega^2 R_2^2}{2\sigma}}$$

或

(13-25)

将(13-25)代入(13-24)则得：

$$h = h_2 e^{\frac{\rho \omega^2}{2\sigma} (R_2^2 - R^2)} \quad (13-26)$$

利用公式(13-26)，根据轮缘处轮盘的最小厚度  $h_2$ ，与其许用应力  $\sigma$ ，就可以求出任意半径处的轮盘厚度；轮盘的剖面形状也就可以确定出来，如图 13-11 所示。

$h_2$  的数值，由叶片及轮缘质量所产生的离心力来求定。

图 13-12 所示的曲线，为在不同材料许用应力  $\sigma$  的情况下， $\frac{h_0}{h_2}$  与在  $h_2$  截面处的切线速度  $u_2$  的关系。

由曲线可知，材料的许用应力愈大时，则  $\frac{h_0}{h_2}$  的比值，即轮盘的厚度变化较小。

由等应力设计出来的轮盘剖面形状，是由两种曲率的曲线所组成的剖面轮廓，中央凸出，周围凹下。

这种轮盘在发动机上应用得很少，因为剖面形状复杂，制造困难；同时实际上发动机中轮盘的温度沿半径方向是变化的，不可能绝对地满足等应力要求。所以一般都制作剖面形状比较简单的轮盘。